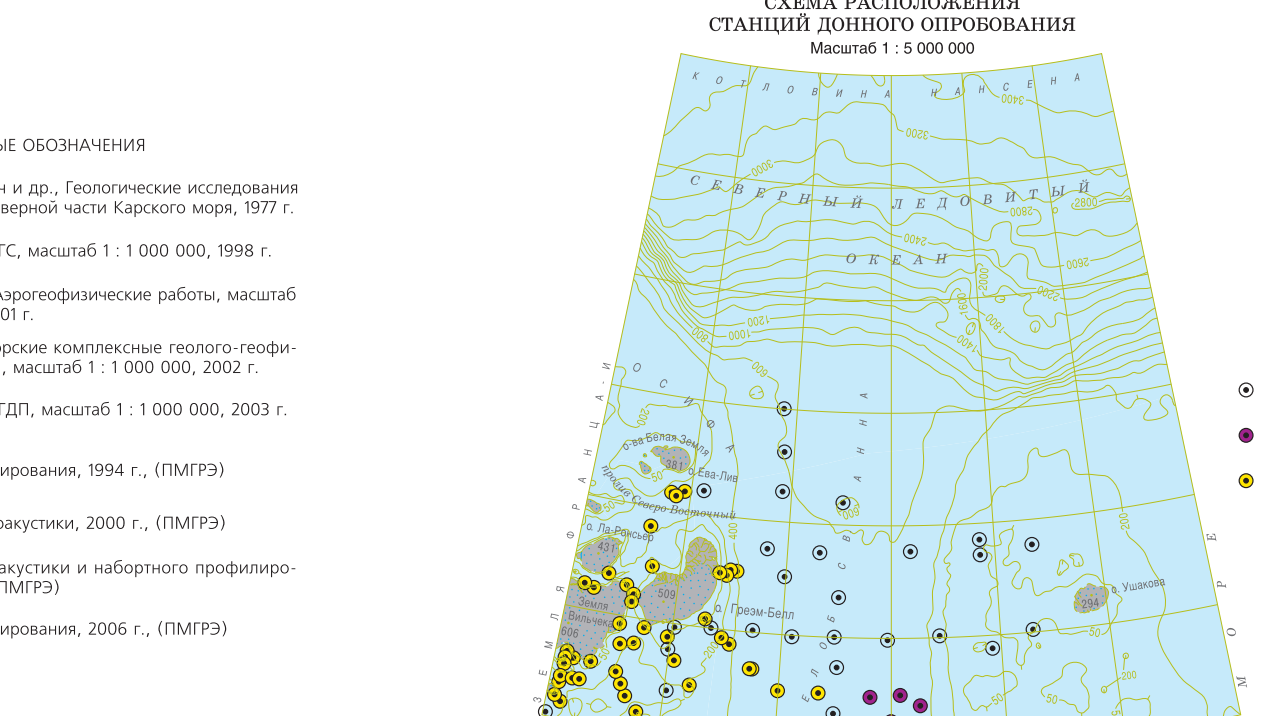
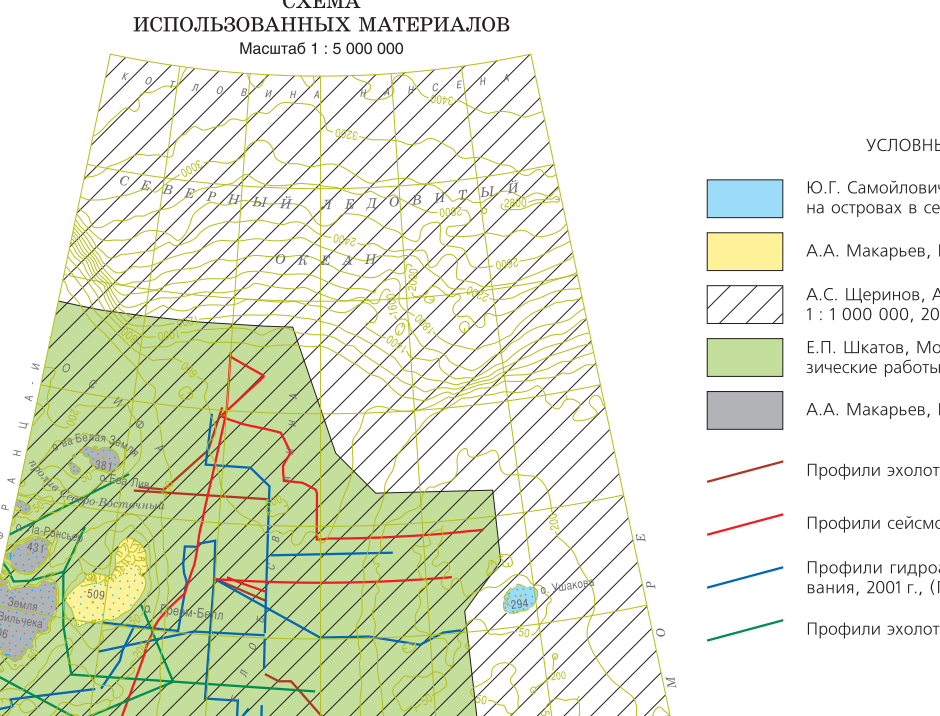
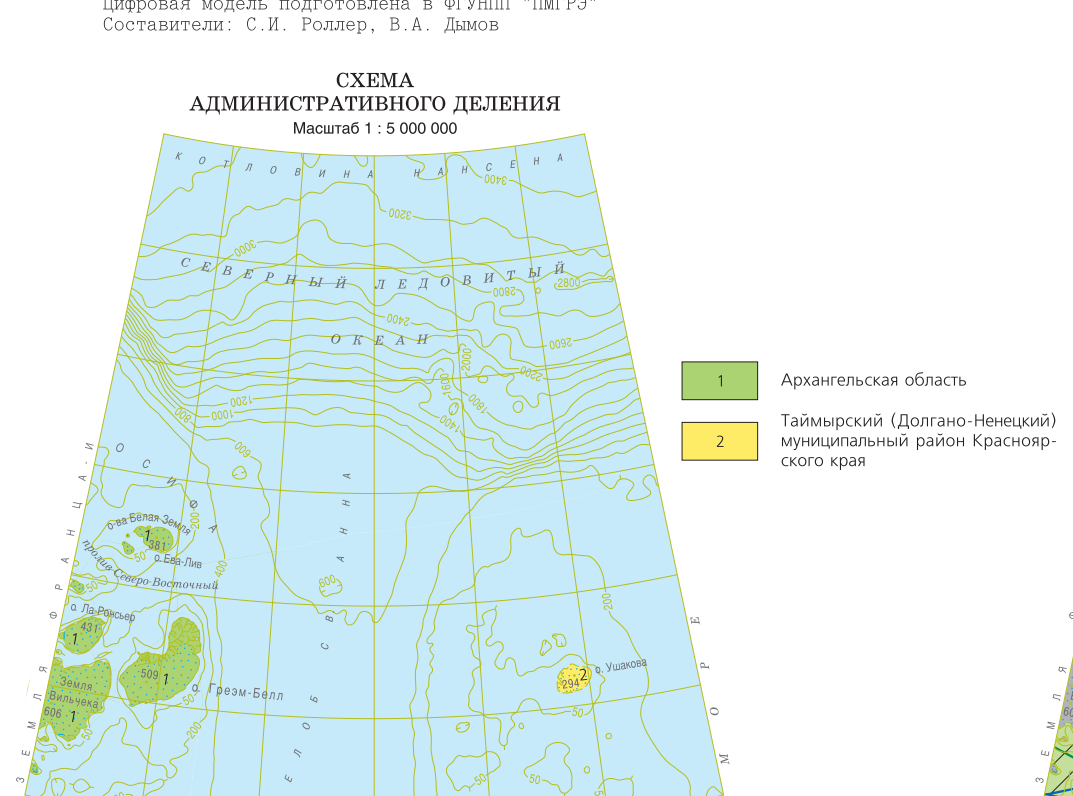
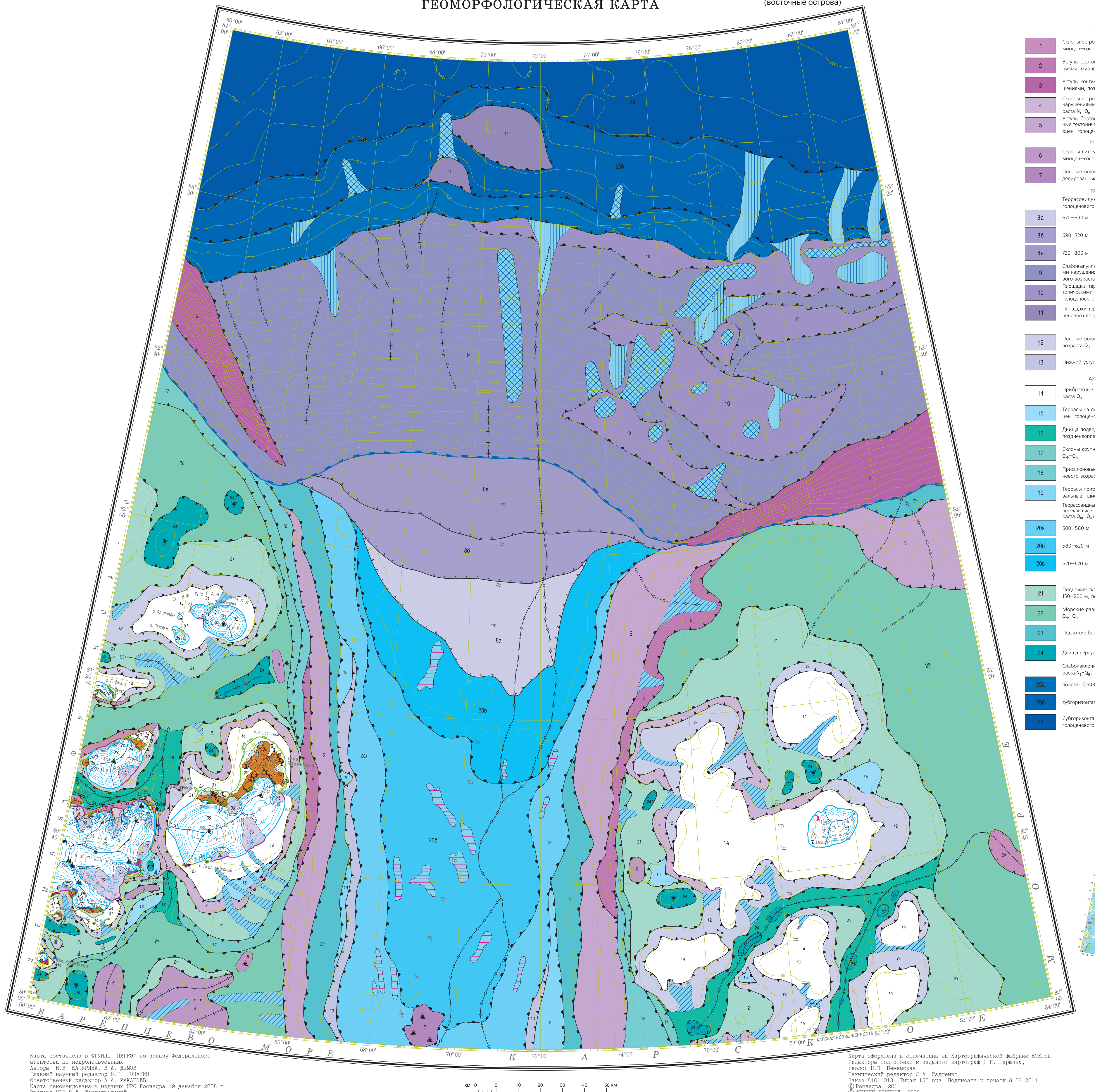


# ГОСУДАРСТВЕННАЯ ГЕОЛОГИЧЕСКАЯ КАРТА РОССИЙСКОЙ ФЕДЕРАЦИИ в масштабе 1 : 1 000 000

(ТРЕТЬЕ ПОКОЛЕНИЕ)

СЕВЕРО-КАРСКО-БАРЕНЦЕВОМОРСКАЯ СЕРИЯ  
ГЕОМОРФОЛОГИЧЕСКАЯ КАРТА

U-41-44 Земля Франца-Иосифа  
(восточные острова)



## УСЛОВНЫЕ ОБОЗНАЧЕНИЯ

I. РЕЛЬФ МОРСКОГО ДНА	
ГЕНЕТИЧЕСКИЕ КАТЕГОРИИ	
TECTONONOMICO-DENUDATIONE RYLF	
Слоны островных поднятий круты, предопределенные разрывными нарушениями, миоцен-голоценового возраста $N_1-Q_4$	
Уступы берегов жебла Святой Анны круты, обусловленные тектоническими нарушениями, миоцен-голоценового возраста $P_1-Q_4$	
Слоны островных поднятий средней крутизны, предопределенные тектоническими нарушениями, моделированные экзогенными процессами, миоцен-голоценового возраста $N_1-Q_4$	
Слоны островных поднятий средней крутизны, предопределенные тектоническими нарушениями, моделированные экзогенными процессами, миоцен-голоценового возраста $P_1-Q_4$	
Слоны литоральных возвышенностей, моделированные экзогенными процессами, миоцен-голоценового возраста $P_1-Q_4$	
Плато склонов литоральных возвышенностей в днище жебла Святой Анны, моделированные экзогенными процессами, миоцен-голоценового возраста $N_1-Q_4$	
TECTONOHENO-АККУМУЛЯТИВНЫЙ РЕЛЬФ	
Террасированные поверхности приступичной части жебла Святой Анны, олигоцен-голоценового возраста $P_2-Q_4$ на глубинах:	
8a	670–690 м
8b	690–720 м
8b	720–800 м
Слоны ландшафтной поверхности континентального склона, обусловленные тектоническими нарушениями, перекрыты четвертичными образованиями, сагиттально-голоценового возраста $P_2-Q_4$	
Плато склонов континентального склона, обусловленные тектоническими нарушениями, перекрыты четвертичными образованиями, олигоцен-голоценового возраста $P_2-Q_4$	
ДЕНДУДИЦИОННЫЙ РЕЛЬФ	
Плато склонов континентального склона, обусловленные тектоническими нарушениями, моделированные экзогенными процессами, миоцен-голоценового возраста $N_1-Q_4$	
II. РЕЛЬФ СУШИ	
ГЕНЕТИЧЕСКИЕ КАТЕГОРИИ	
КОНСТРУКТИВНО-ДЕНДУДИЦИОННЫЙ РЕЛЬФ	
Конструктивно-денудационные поверхности базальтовых плато и спилов, миоцен-голоценового возраста $N_1-Q_4$	
ДЕНДУДИЦИОННЫЕ ЛОКАЛЬНЫЕ ВОЗЫШЕНИЯ, ПОЗДНЕНОПЛЕЙСТЦЕН-ГОЛОЦЕНОВОГО ВОЗРАСТА $Q_4$	
Денудационные слабоизолистные равнины, позднеоплайстоцен-голоценового возраста $Q_4$	
АККУМУЛЯТИВНО-ДЕНДУДИЦИОННЫЙ РЕЛЬФ	
Морской берег Святой Анны, миоцен-голоценового возраста $N_1-Q_4$	
АККУМУЛЯТИВНЫЙ РЕЛЬФ	
Ледниковой	
Поверхности моренных гряд и холмов, голоценового возраста $Q_4$	
Водно-ледниковой	
Флювиогляциальные поля, заносы, голоценового возраста $Q_4$	
Атмосферной аккумуляции	
Поверхности покровных ледников и ледниковых куполов, голоценового возраста $Q_4$	
Поверхности выщервленных ледников и ледниковых площадей осадки, голоценового возраста $Q_4$	
III. РЕЛЬФ С НЕОПРЕДЕЛЕННЫМИ ГЕНЕТИЧЕСКИМИ КАТЕГОРИЯМИ	
ГРДОБРАЗНЫЕ ВОЗЫШЕНИЯ В ДНИЩЕ ЖЕБЛА СВЯТОЙ АНЫ	
КАНЬОНОБРАЗНЫЕ ПОВЫШЕНИЯ В ПРЕДЕЛАХ КОНТИНЕНТАЛЬНОГО СКЛОНА	
ГРДОБРАЗНЫЕ ВЫСТУПЫ В ПРЕДЕЛАХ КОНТИНЕНТАЛЬНОГО СКЛОНА	
ТРОГОБРАЗНЫЕ ДОЛНИ	
МОРФОГРАФИЯ РЕЛЬФА	
Структурные точки	
Вершины	
Низины	
Переходы подводных долин	
СТРУКТУРНЫЕ ЛИНИИ	
Гребни	
Гребни предполагаемые	
Киевы	
Киевы предполагаемые	
Выпуклый перегиб	
Выпуклый перегиб предполагаемые	
Волнистый перегиб	
Волнистый перегиб предполагаемые	
Линии георадаров	
Морфографии	
ТИПЫ БЕРГОВ	
Ледово-абразионные	
Выщервленные гряды и площадь осадки	
Абразионно-денудационные	
Абразионно-аккумулятивные	
ФОРМЫ РЕЛЬФА	
Кары, ширы	
Бровка континентального склона	
Сабюроные равнины континентального подножия, миоцен-голоценового возраста $N_1-Q_4$ , пологие (2400–3200 м)	
Субгоризонтальные равнины ложа глубоководной котловины, позднеоплайстоцен-голоценового возраста $Q_4$	
АККУМУЛЯТИВНЫЙ РЕЛЬФ	
Подножия склонов островных поднятий и подводных возвышенностей на глубинах 150–200 м, позднеоплайстоцен-голоценового возраста $Q_4$	
Морские равнины на глубинах 220–300 м, позднеоплайстоцен-голоценового возраста $Q_4$	
ПОДВОДНЫЕ ДОЛНИ	
Подножия берегов жебла Святой Анны, позднеоплайстоцен-голоценового возраста $Q_4$	
Днища подводных долин субзарывные, перекрытые субзарыванными, позднеоплайстоцен-голоценового возраста $Q_4$ на глубинах:	
20a	500–580 м
20b	580–620 м
20c	620–670 м
АККУМУЛЯТИВНЫЙ РЕЛЬФ	
Подножия склонов островных поднятий и подводных возвышенностей на глубинах 150–200 м, позднеоплайстоцен-голоценового возраста $Q_4$	
Морские равнины на глубинах 220–300 м, позднеоплайстоцен-голоценового возраста $Q_4$	
ПОДВОДНЫЕ УСТЫ	
Днища подводных долин субзарывные, позднеоплайстоцен-голоценового возраста $Q_4$	
АККУМУЛЯТИВНО-ДЕНДУДИЦИОННЫЙ РЕЛЬФ	
Прибрежные террасы абразионные и абразионно-аккумулятивные, голоценового возраста $Q_4$	
Террасы на склонах островных поднятий на глубинах 100–150 м, позднеоплайстоцен-голоценового возраста $Q_4$	
Днища подводных долин субзарывные, перекрытые субзарыванными, позднеоплайстоцен-голоценового возраста $Q_4$ на глубинах:	
20a	500–580 м
20b	580–620 м
20c	620–670 м
АККУМУЛЯТИВНЫЙ РЕЛЬФ	
Подножия склонов островных поднятий и подводных возвышенностей на глубинах 150–200 м, позднеоплайстоцен-голоценового возраста $Q_4$	
Морские равнины на глубинах 220–300 м, позднеоплайстоцен-голоценового возраста $Q_4$	
ПОДВОДНЫЕ УСТЫ	
Днища подводных долин субзарывные, позднеоплайстоцен-голоценового возраста $Q_4$	
АККУМУЛЯТИВНЫЙ РЕЛЬФ	
Подножия склонов островных поднятий и подводных возвышенностей на глубинах 150–200 м, позднеоплайстоцен-голоценового возраста $Q_4$	
Морские равнины на глубинах 220–300 м, позднеоплайстоцен-голоценового возраста $Q_4$	
ПОДВОДНЫЕ УСТЫ	
Днища подводных долин субзарывные, позднеоплайстоцен-голоценового возраста $Q_4$	
АККУМУЛЯТИВНЫЙ РЕЛЬФ	
Подножия склонов островных поднятий и подводных возвышенностей на глубинах 150–200 м, позднеоплайстоцен-голоценового возраста $Q_4$	
Морские равнины на глубинах 220–300 м, позднеоплайстоцен-голоценового возраста $Q_4$	
ПОДВОДНЫЕ УСТЫ	
Днища подводных долин субзарывные, позднеоплайстоцен-голоценового возраста $Q_4$	
АККУМУЛЯТИВНЫЙ РЕЛЬФ	
Подножия склонов островных поднятий и подводных возвышенностей на глубинах 150–200 м, позднеоплайстоцен-голоценового возраста $Q_4$	
Морские равнины на глубинах 220–300 м, позднеоплайстоцен-голоценового возраста $Q_4$	
ПОДВОДНЫЕ УСТЫ	
Днища подводных долин субзарывные, позднеоплайстоцен-голоценового возраста $Q_4$	
АККУМУЛЯТИВНЫЙ РЕЛЬФ	
Подножия склонов островных поднятий и подводных возвышенностей на глубинах 150–200 м, позднеоплайстоцен	